



## بررسی دینامیکی استحصال آب از مه با نگرشی بر نظریه فرکتال

محمد صادق غضنفری مقدم<sup>۱\*</sup> - امین علیزاده<sup>۲</sup> - مهیار ناصری مقدم<sup>۳</sup> - سید محمد موسوی بایگی<sup>۴</sup>

تاریخ دریافت: ۸۸/۸/۱۶

تاریخ پذیرش: ۸۹/۴/۷

### چکیده

امروزه محدودیت منابع آب در اکثر نقاط جهان، بویژه در مناطق خشک و نیمه خشک، از جمله مضلات بزرگی است که گریبان‌گیر دولتمردان و سیاست‌گذاران کشورهای مختلف می‌باشد. به همین دلیل بسیاری از کشورها به دنبال منابع آب جایگزین برای تامین آب مورد نیاز خود می‌باشند. استحصال آب از مه و ابرهای قله‌ای یکی از تکنیک‌های تامین آب شیرین می‌باشد. کشورهای زیادی از جمله شیلی، پرو، اکوادور، کانادا، نامیبیا و نیپل بر روی استحصال آب از مه سرمایه‌گذاری کرده‌اند. اما لازمه سرمایه‌گذاری موثر، برآورد هزینه به درآمد این روش است که مستلزم کمی کردن همه موارد می‌باشد. بدست آوردن رابطه‌ای برای تخمین میزان آب استحصالی یکی از مواردی است که کمتر مورد مطالعه قرار گرفته است. در این پژوهش تلاش شده است که روابط دینامیکی حاکم بر فیزیک ابر و رطوبت جو بررسی شود. بدین منظور از داده‌های میدانی موجود که آب را با جمع کننده‌های مختلف از مه استحصال کرده بودند استفاده شد. با استفاده از دو سوم داده‌ها و بر مبنای فرضیات ارائه شده بر اساس ویژگی‌های جمع کننده‌ها، بعد از احتمال ۹۵ درصد بعد فرکتال محاسبه شده آزمون شد. نتایج نشان می‌دهد که در سطح فرکتال محاسبه گردید. سپس با استفاده از یک سوم باقی مانده داده‌ها، صحت بعد فرکتال محاسبه شده آزمون شد. نتایج این پژوهش بر مبنای داده‌های میدانی محدود بدست آمده و نتایجی با دقت و اطمینان بالاتر با استفاده از داده‌های آزمایشگاهی قابل استحصال می‌باشد.

**واژه‌های کلیدی:** مه، نظریه فرکتال، ابر قله‌ای، استحصال آب از مه

### مقدمه

رطوبت جو یکی از منابعی است که می‌تواند تامین کننده بخشی از نیاز آب شیرین منطقه به شمار رود (۴).

کشورهای زیادی بر روی استحصال آب از مه سرمایه‌گذاری کرده‌اند. شیلی، پرو، اکوادور، کانادا، نامیبیا و نیپل از جمله این کشورها می‌باشند. در شیلی در یکی از روستاهای که پروژه استحصال آب از مه اجرا شده است، روزانه حدود ۱۱۰۰۰ لیتر آب آشامیدنی از این منبع تامین می‌شود (۱۴ و ۱۵).

تکنیک‌های متعددی برای استحصال آب از مه در نقاط مختلف جهان با توجه به شرایط منطقه به کار گرفته می‌شود. چاله‌های شبنم<sup>۳</sup>، چاله‌های تهويه‌ای<sup>۴</sup>، حصار جذب مه<sup>۵</sup> و جمع کننده‌های برداشت مه<sup>۶</sup> از انواع سیستم‌های جمع‌آوری رطوبت مه می‌باشند (۴).

در منابع تاریخی و آثار بجا مانده از اقدامات تجربی ساکنین مناطق خشک در ایران، به خوبی می‌توان به آشنایی پیشینیان در

آب یکی از حیاتی‌ترین نیازهای بشر می‌باشد. منابع آب یکی از فراوان‌ترین منابع طبیعی در سطح جهان به شمار می‌رود. ولی با وجود حجم زیاد آب‌های کره زمین، تنها ۳ درصد از آن‌ها شیرین می‌باشد. این مسئله کمبود منابع آب شیرین را نشان می‌دهد. اهمیت موضوع وقتی نمایان می‌شود که تنها ۱ درصد این آب‌ها در دسترس می‌باشد و بقیه تقریباً بدون برداشت می‌باشند. آب‌های شیرین بدون استفاده یا در یخچال‌ها و کلاهک‌های قطبی ذخیره شده‌اند و یا به صورت بخار در اتمسفر زمین موجودند که در اکثر موارد استفاده از آن‌ها بدليل عدم توجیه اقتصادی مقرر به صرفه نیست (۳).

ولی مناطقی وجود دارد که در بسیاری از روزهای سال دارای مه می‌باشند. همچنین در برخی مناطق بدليل وجود شرایط مطلوب و توپوگرافی زمین ابرهای قله‌ای در ارتفاعات شکل می‌گیرند. بنابراین

3 - Dew pounds

4 - Air well

5 - Fog fences

6 - Fog harvesting

۱، ۲، ۳ و ۴ - به ترتیب دانشجوی دکتری، استاد، دانشجوی کارشناسی ارشد و دانشیار گروه مهندسی آب، دانشکده کشاورزی، دانشگاه فردوسی مشهد  
(Email: msgm@enginee.com) - نویسنده مسئول:

می‌گیرد، با جذب قطرک‌های آب رطوبت مه را جذب می‌کند.

**جدول ۱- میزان آب استحصالی از جمع کننده‌ها (۱)**

جمع کننده	آب استحصالی ( $L/m^2$ )	پرده ای	تک جداره	دو جداره
۱	.۰/۰۴	.۰/۰۴۴	.۰/۰۵۶	.۰/۰۵۶
۲	.۰/۲۷۶	.۰/۴۴۴	.۰/۵	.۰/۵
۳	.۰/۱۰۳	.۰/۰۷۷	.۰/۲۲۷	.۰/۲۲۷
۴	.۰/۳۴۵	.۰/۴۳۳	.۱/۴۵۵	.۱/۴۵۵
۵	.۰/۲۷۶	.۱/۳۴	.۱/۲۷۳	.۱/۲۷۳
۶	.۰/۳۴۵	.۱/۹۸۵	.۳/۲۲۷	.۳/۲۲۷
۷	.۰/۴۱۴	.۱/۴۳۳	.۱/۴۵۵	.۱/۴۵۵
۸	.۱/۸۹۷	.۱/۶۴۹	.۲/۲۲۷	.۲/۲۲۷
۹	.۰/۰۵۲	.۰/۰۴۱	.۰/۰۹۱	.۰/۰۹۱
۱۰	.۰/۲۵	.۰/۲۵۸	.۰/۵	.۰/۵
۱۱	.۰/۰۵۲	.۰/۰۷۷	.۰/۱۳۶	.۰/۱۳۶
۱۲	.۰/۰۹۵	.۰/۱۰۳	.۰/۱۸۲	.۰/۱۸۲
۱۳	.۰/۰۶۹	.۰/۰۷۲	.۰/۱۳۶	.۰/۱۳۶
۱۴	.۰/۱۶۴	.۰/۱۵۵	.۰/۳۱۸	.۰/۳۱۸
۱۵	.۰/۱۰۳	.۰/۰۷۷	.۰/۲۲۷	.۰/۲۲۷
۱۶	.۰/۰۸۶	.۰/۰۵۲	.۰/۱۸۲	.۰/۱۸۲
۱۷	.۰/۶۲۷	.۰/۶۷	.۱/۳۶۴	.۱/۳۶۴
۱۸	.۰/۱۹	.۰/۲۰۶	.۰/۴۰۹	.۰/۴۰۹
۱۹	.۰/۱۴۷	.۰/۱۰۳	.۰/۳۰۸	.۰/۳۰۸
۲۰	.۰/۱۰۳	.۰/۱۲۹	.۰/۲۷۳	.۰/۲۷۳
۲۱	.۰/۴۰۵	.۰/۲۵۶	.۰/۹۰۹	.۰/۹۰۹
۲۲	.۰/۵۱۷	.۰/۶۱۹	.۱/۳۶۴	.۱/۳۶۴
۲۳	.۰/۴۷۴	.۰/۴۱۲	.۱/۰۴۵	.۱/۰۴۵
۲۴	.۰/۴۳۱	.۰/۳۰۹	.۰/۹۰۹	.۰/۹۰۹
۲۵	.۰/۴۴۸	.۰/۳۳۵	.۰/۹۰۹	.۰/۹۰۹
۲۶	.۰/۰۵۲	.۰/۰۴۱	.۰/۰۹۱	.۰/۰۹۱
۲۷	.۰/۲۵	.۰/۲۵۸	.۰/۵	.۰/۵
۲۸	.۰/۶۷۲	.۰/۶۷	.۱/۳۶۴	.۱/۳۶۴
۲۹	.۰/۱۹	.۰/۲۰۶	.۰/۴۰۹	.۰/۴۰۹
۳۰	.۰/۱۴۷	.۰/۱۰۳	.۰/۳۱۸	.۰/۳۱۸
۳۱	.۰/۱۶۴	.۰/۱۵۵	.۰/۳۱۸	.۰/۳۱۸
۳۲	.۰/۱۰۳	.۰/۰۷۷	.۰/۲۲۷	.۰/۲۲۷
۳۳	.۰/۰۸۶	.۰/۰۵۲	.۰/۱۸۲	.۰/۱۸۲
۳۴	.۰/۲۹۳	.۰/۲۳۲	.۰/۳۶۴	.۰/۳۶۴
۳۵	.۰/۰۹۵	.۰/۰۷۷	.۰/۱۸۲	.۰/۱۸۲
۳۶	.۰/۳۶۲	.۰/۲۰۶	.۰/۵	.۰/۵
۳۷	.۰/۰۸۶	.۰/۰۵۲	.۰/۱۸۲	.۰/۱۸۲

بهره‌برداری از پدیده شینم و مه بی‌برد. زارعین در مناطق مه خیز در زمین‌های خود جوی و پشته‌ها را برای استفاده حداکثر از شینم، عمود بر حرکت مه احداث کردند (۹).

در پژوهشی که در سال ۱۳۸۵ در ارتفاعات اطراف مشهد انجام گردید، مقدار آب استحصالی از مه توسط جمع کننده‌های مه مختلف اندازه‌گیری شد. داده‌های بدست آمده امکان استحصال آب را در این مناطق از رطوبت جو نشان می‌دهد (۱). استحصال آب از منابع جایگزین همواره باید بر اساس توجیه اقتصادی باشد. اطلاع دقیق و صحیح از پتانسیل منابع برای استحصال کمک زیادی به آنالیز هزینه به منافع می‌باشد. یکی از شروط موقوفیت در این پژوهه‌ها تخمین مناسب از حجم آب قابل استحصال قبل از اجرا می‌باشد. بنابراین بدست آوردن روابط دینامیکی دینامیکی و تجربی یکی از نیازهایی است که به آن توجه کامل نشده است. هدف از این پژوهش بدست آوردن بعد فرکتالی برای رابطه ای است که بتواند میزان آب استحصالی را با داشتن تراکم شبکه جمع آوری کننده و مقدار آب موجود در مه با استفاده از روابط دینامیکی تخمین بزند. نتایج بدست آمده از پژوهش شعبان زاده (۱) به عنوان داده‌های مشاهده شده برای بدست آوردن بعد فرکتال و آزمون این در معادله دینامیکی مورد استفاده قرار گرفت.

### اصول نظری

قطرک‌های موجود در ابر تا زمانی که قطربسان به ۵۰ میکرون نرسد امکان سقوط ندارند (۷). با توجه به این که قطرک‌های موجود در مه قطری حدود ۱ تا ۴۰ میکرون دارند، نمی‌توانند در اثر نیروی ثقل سقوط نمایند. بنابراین بایستی عاملی باعث رشد قطرک‌ها و یا جذب آن‌ها شود. جمع کننده‌های مه شامل شبکه‌ای از تورهایی است که با نخ‌های نایلونی نازک بوجود آمداند. این نخ‌ها به عنوان سطوح جمع کننده مه بر سر راه قطرک‌های آب موجود در مه قرار گرفته و آن‌ها را جذب می‌نمایند.

### توزیع اندازه ذرات

مارشال و پالمر در سال ۱۹۴۸ نشان دادند که توزیع اندازه ذرات قطرک‌ها از معادله زیر بدست می‌آید (۶).

$$n(D_0) = n_0 \exp(-\Lambda D_0) \quad (1)$$

در رابطه (۱)  $D_0$  قطر قطرک،  $n(D_0)$  تعداد قطرک‌ها با قطر  $D_0$  در واحد حجم،  $\Lambda$  عکس میانگین قطر قطرک‌ها بر حسب  $mm^{-3}$  و  $n_0$  ضریب ثابت و برابر با  $103 \times 8$  می‌باشد.

### ضریب برخورد

نخ نایلونی جمع کننده مه وقتی در مقابل جریان حرکت هوا قرار

مقطع جمع کننده و  $t$  زمان می باشد.

### نظريه فركتال<sup>۳</sup>

اگر برش عرضی ابر در نظر گرفته شود، قطرک های آب در صفحه به صورت دواویری با شاعع های مختلف ظاهر می شوند. اگر شبکه جمع کننده مه نیز در این صفحه نقش شود، تعداد نقاط برخورد قطرک ها با خطاهای شبکه (نخ ها) بیانگر تعداد قطرک های آبی که بر سر راه نخ ها قرار دارند می باشد. بنابراین با دانستن این نکته که چه تعداد نقطه برخورد وجود دارد، می توان حجم آب استحصالی را تخمين زد. البته با استیضاح ضریب برخورد را نیز در نظر گرفت. تعداد نقاط برخورد بستگی به تراکم شبکه جمع آوری کننده و نحوه قرار گیری قطرک ها دارد.<sup>(۱۲)</sup>

برای اولین بار مندلبروت<sup>۴</sup> در سال ۱۹۸۲ نظريه فركتال ها را مطرح کرد. در این نظريه که در مقابل هندسه اقليديسي قرار می گيرد، ابعاد هندسي اعداد صحيح نبوده و به صورت اعشاري بیان می شوند. همچنین اشياء متقارن نبوده، بلکه خود متشابهاند. بسياري از عوارض و پديدهها در طبيعت رفتار فركتالي دارند. از جمله می توان به رعد و برق، شاخ و برگ درختان، مغز انسان و ... اشاره کرد. ابرها يكى از عوارضی هستند که رفتار فركتالي دارند.<sup>(۵)</sup>

در محیط های فركتالي، شکل عمومی نا منظمی ها بر روی يك صفحه به درجه بزرگ نمایی که تحت آن جسم دیده می شود بصورت معادله زیر بستگی دارد.<sup>(۶)</sup>

$$N_2 = N_1 \times G^D \quad (6)$$

که در آن،  $G$  درجه بزرگ نمایی،  $N_1$  تعداد نامنظمی ها قبل از بزرگ نمایی،  $N_2$  تعداد نامنظمی ها بعد از بزرگ نمایی و  $D$  بعد فركتالي<sup>۵</sup> می باشد.

برای مثال برای محاسبه سطح سایه انداز ابرها که به صورت دو بعدی بررسی می گردد بعد فركتالي  $1/35$  می باشد.<sup>(۱۳)</sup>

براین اساس اگر بزرگ نمایی بصورت تراکم شبکه جمع آوری کننده فرض شود، تعداد برخوردها را با شبکه و در نتيجه حجم آب استحصالی تخمين زده می شود.

### مواد و روش ها

در اين مقاله ابتدا با استفاده از روابط دیناميكی حاكم بر فيزيك ابر، توزيع قطرک های آب در ابر و مقدار آب موجود در ابر مورد بررسی قرار گرفت. سپس فرضيه فركتالي بودن نحوه توزيع قطرک ها مطرح شد. براساس اين فرضيه تراکم شبکه جمع کننده به عنوان

اما حرکت هوا در اطراف نخ باعث بوجود آمدن يك لایه مرزی<sup>۱</sup> در اطراف نخ می شود که موجب پراکنده شدن قطرک های مه می شود. بنابراین تمامی قطرک هایی که در مسیر نخ قرار دارند به آن برخورد نمی کنند. اين فرایند مانند سقوط قطره باران در ابر است. اگر شاعع نخ نايلونی  $R$  باشد و قطرک هایی که به نخ برخورد می کنند دارای شاعع  $r$  باشند، ضریب برخورد از معادله زیر بدست می آید.<sup>(۱۱)</sup>

$$E(R, r) = \frac{y_c}{(R+r)^2} \quad (3)$$

در معادله (۳)،  $E(R,r)$  ضریب برخورد قطرک ها با نخ،  $R$  شاعع نخ نايلونی بر حسب mm و  $r$  شاعع قطرک بر حسب mm بوده که بيشترین جاچایي افقی قطرک های آب در اثر لایه مرزی نخ بر حسب mm می باشد. ضریب برخورد برای قطرک های ابر با شاعع كمتر از  $\frac{3}{2} \mu\text{m}$  برابر صفر می باشد که برای شاعع های بزرگتر از  $\frac{3}{2} \mu\text{m}$  معادله زیر بدست می آید.

$$E = 0.4 \log(r) + 1 \quad r \leq 0.6 \text{ mm} \quad (3)$$

$$E = 0.9 \quad r > 0.6 \text{ mm}$$

### مقدار آب مایع (LWC)<sup>۴</sup>

با استفاده از معادله زیر با دانستن شاعع هر قطرک (r) (همانگونه که ذکر شد در مه بین ۱ تا  $40 \mu\text{m}$  میکرون است) و تعداد قطرک با شاعع r در واحد حجم (N) که از معادله توزيع اندازه ذرات مارشال-پالمر بدست می آید، می توان مقدار LWC را محاسبه نمود.<sup>(۷)</sup>

$$LWC = \frac{4\pi \times N \times r}{3 \times 10^4} \quad (4)$$

که در آن LWC مقدار آب مایع در مه بر حسب لیتر در متر مکعب، N تعداد قطرک ها با شاعع r بر حسب mm می باشد. با دانستن مقدار LWC می توان پتانسیل استحصال آب از مه را محاسبه نمود.

### شار جريان بخار

شار جريان بخار از داخل شبکه توري جمع کننده با دانستن سرعت باد و با محاسبه مولقه عمود سرعت بر شبکه جمع کننده محاسبه می شود. با توجه به اينکه تعداد قطرک ها با قطرهای مختلف از معادله (۱) محاسبه می شود، شار عبوری قطرک ها از واحد سطح با معادله زیر محاسبه می شود.

$$F_v = \sum \left( \frac{4 \times \pi N r^3}{3 \times A \times t} \right) \quad (5)$$

که در آن N تعداد قطرک های با شاعع r در واحد حجم، A سطح

1 - Boundary layer

2 - Liquid water content

3 - Fractals Theory

4 - Mandelbrot

5 - Fractal dimension

داده های موجود بعد فرکتال تخمین زده شد. سپس با استفاده از ۳۴ درصد باقی مانده بعد فرکتال بدست آمده آزمون شد. بدین منظور نرمال بودن دو دسته داده آزمون شد. سپس میانگین شیب داده ها در دسته ۳۴ درصد با میانگین شیب داده ها در دسته ۶۶ درصد (بعد فرکتال بدست آمده) با آزمون مقایسه میانگین مقایسه گردید.

جدول ۲ - مشخصات جمع کننده ها و مقیاس انتخاب شده

مقیاس	جمع کننده	تعداد نخ	سطح جمع کننده (Cm <sup>2</sup> )
پرده ای	0.058	10000	580
تک جداره	0.1	1942	200
دو جداره	0.24	3231	800

## نتایج

در معادله (۷)، نامشخص بودن مقدار  $N_1$  در شیب تعییری ایجاد نمی کند، لذا نمودار  $\log(N)$  (حجم آب استحصال شده) در مقابل  $\log(G)$  مقیاس انتخاب شده برای جمع کننده رسم شد (شکل ۱).

نرمال بودن شیب ها در دو دسته از داده ها برای مقایسه میانگین انجام شد. آزمون نرمال بودن برای این داده ها به تفکیک برای داده های انجام شد. برای این منظور ۶۶ درصد داده ها که بر اساس آن داده ها بعد فرکتال بدست آمده در یک دسته و ۳۴ درصد باقی مانده در دسته دیگر قرار گرفتند. نتایج حاصل از آزمون رایان-جوینر برای نرمال بودن داده ها در جدول ۳ آمده است (۱۰).

با توجه به اینکه داده ها دارای توزیع نرمال می باشند، مقایسه میانگین برای شیب دسته ۳۴ درصد با توجه به میانگین شیب بدست آمده در دسته ۶۶ درصد (بعد فرکتال محاسبه شده) انجام شد.

برای تمام ۲۴ سری داده (۶۶ درصد کل داده ها) شیب ها تعیین گردید. نتایج حاصل از آنالیز آماری شیب ها نشان داد که بعد فرکتال برابر با ۲/۵۴ می باشد و شیب ها دارای توزیع نرمال می باشند (جدول ۲).

آزمون مقایسه میانگین برای شیب های دسته ۳۴ درصد انجام گردید. بدین منظور آزمون  $t$  بر روی داده ها انجام شد که نتایج در جدول ۳ آمده است.

نتایج جدول ۳ نشان می دهد که فرض  $H_0$  (میانگین دسته مخالف ۲/۵۴) در سطح ۹۵ درصد رد می شود. بنابراین می توان بعد فرکتال را برابر با میانگین شیب دسته ۶۶ درصد، یعنی برابر با ۲/۵۴ فرض نمود.

مقیاس در رابطه فرکتالی درنظر گرفته شد. برای آزمون آماری این فرضیه، آمار ۳۷ سری استحصال آب از سه نوع شبکه با تراکم های مختلف مورد استفاده قرار گرفت (جدول ۱). داده ها به دوسری تقسیم شد. دو سوم از داده ها (سری ۱ تا ۲۴ در جدول ۱) برای تعیین بعد فرکتال و یک سوم دیگر (سری ۲۵ تا ۳۷ در جدول ۱) برای آزمون صحبت بعد فرکتال مورد استفاده قرار گرفتند.

بر اساس نوع جمع کننده و تراکم نخ های نایلونی در واحد سطح، برای هریک از جمع کننده ها یک عدد به عنوان مقیاس در رابطه فرکتالی در نظر گرفته شد. این عدد بر اساس تراکم نخ (تعداد نخ در واحد سطح) در شبکه جمع آوری کننده انتخاب شد. تعداد برخورد قطرک ها با نخ های نایلونی در عور مه از شبکه جمع آوری کننده مقدار آب استحصالی را تعیین می کند. بنابراین افزایش تراکم باعث افزایش برخورد در نتیجه افزایش آب استحصالی می شود. بنابراین اگر فرض شود که توزیع قطرک ها فرکتالی می باشد، می توان تراکم شبکه جمع کننده را به عنوان مقیاس در رابطه فرکتالی درنظر گرفت. چراکه با توجه به طبیعت فرکتالی توزیع قطرک ها، در صورتی که تراکم (مقیاس) بیشتر شود، رفتار قطرک ها (برخورد با نخ عای نایلونی) مشابه حالت قبل می باشد.

مشخصات جمع کننده های پرده ای (قاب مربعی با ابعاد ۱۰۰cm×۱۰۰cm)، مخروطی تک جداره (قطر دایره بزرگ ۲۱cm، قطر دایره کوچک ۱۲cm و ارتفاع ۳۷cm) و مخروطی دو جداره (قطر دایره بزرگ ۲۵cm، قطر دایره کوچک ۲۰cm و ارتفاع ۴۶cm) با مقیاس های مختلف در جدول (۲) آمده است.

## فرضیات

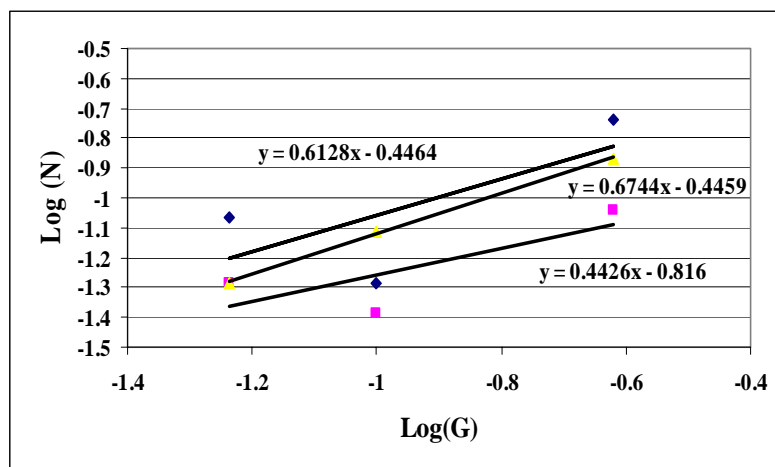
برای محاسبه میزان آب استحصالی، مقدار آب مایع (LWC) مورد نیاز می باشد. اما داده های میدانی فاقد آمار LWC بودند. مقدار آب موجود در ابر یا مه می باشد که در هر بار برداشت برای هر سه نوع جمع کننده مقدار ثابتی بوده است.

در اینصورت مقدار  $N_1$  در معادله (۶) را که با LWC تعیین می گردد را ثابت فرض کرد. بنابراین اگر نمودار  $\log(\frac{N}{N_1})$  در مقابل  $\log(G)$  برای هر بار برداشت رسم شود، معادله زیر بدست می آید که شیب آن بیانگر بعد فرکتالی (D) می باشد.

$$\log(\frac{N}{N_1}) = D \cdot \log(G) \quad (2)$$

در نتیجه بخار نامشخص بودن LWC تنها عرض از میدا تحت تاثیر قرار می گیرد و بر مقدار شیب که همان بعد فرکتال است تاثیری ندارد.

لذا با داشتن مقدار آب استحصالی از هر شبکه و دانستن تراکم آن شبکه، بعد فرکتالی تخمین زده می شود. با استفاده از ۶۶ درصد

شکل ۱- نمودار  $\text{Log}(G)$  در مقابل  $\text{Log}(N)$ 

(برای جلوگیری از شلغ شدن، تنها ۳ سری داده از ۳۷ سری ترسیم شده است.)

جدول ۳- جدول نتایج حاصل از آزمون نرمال بودن مربوط به داده های شبیه

دسته	درصد از کل	میانگین شبیه ها	انحراف معیار شبیه ها	P-value	R	وضعیت توزیع
۱- واسنجی	۶۶	۰/۹۳	۰/۹۶	> ۰/۱	نرمال	
۲- آزمون	۳۴	۰/۲۷	۰/۹۴	> ۰/۱	نرمال	

جدول ۴- مقایسه میانگین برای شبیه های آزمون (دسته ۳۴ درصد) با فرض  $H_0$  میانگین مخالف ۲/۵۴ در سطح ۹۵ درصد

دسته	درصد از کل	میانگین شبیه ها	انحراف معیار شبیه ها	P-value	t	وضعیت فرض
۱- دسته	۳۴	۰/۴۸	۰/۳۷	< ۰/۰۵	-۰/۶۴	رد فرض $H_0$

بنابراین مطالعه ای بر پایه اطلاعات کامل می تواند به تخمین دقیق تر

بعد فرکتال کمک نماید.

به نظر می رسد هنوز بر روی تعیین آب استحصالی از مه مطالعات کافی صورت نگرفته است. با توجه به اینکه رطوبت جو یکی از منابع تامین آب شیرین می باشد، نیاز به تحقیقات بیشتر و مطالعات تکمیلی در این خصوص مفید خواهد بود.

فرض فرکتالی بودن توزیع قطرک ها در مه و بعد فرکتال بدست آمده در این تحقیق تنها براساس داده های میدانی موجود و با آنالیز آنها بدست آمده است. با توجه به محدودیت این داده ها و شرایط ذکر شده در بالا، برای اطمینان بیشتر از صحت نتایج و تعیین دقیق تر بعد فرکتال نیاز به داده های آزمایشگاهی در شرایط یکنواخت و مشابه شرایط محیط مه می باشد.

### پیشنهادات

نتایج این تحقیق را می توان از جنبه های مختلف بررسی کرد و پیشنهادات ذیل را ارائه نمود.

با توجه به اینکه تمامی جمع کننده ها یک شکل نبوده و از سه نوع، دو نوع آن ها به هم شبیه بوده اند، با یکسان شدن وسائل ممکن است نتایج این پژوهش بهبود یابد.

یکسان بودن تمامی شرایط محیطی، از جمله حرکت جریان مه از داخل شبکه جمع آوری، شرط لازم برای انجام آزمایش می باشد. بنابراین فراهم کردن شرایطی یکنواخت که تنها در تراکم شبکه متفاوت باشد از عواملی است که نتیجه بدست آمده را با اطمینان بیشتری تأیید می کند.

دانستن LWC برای آزمون صحت نتایج ضروری می باشد.

## منابع

- ۱- شعبان زاده س. ۱۳۸۵. بررسی امکان استحصال آب از مه و ابرهای قله ای پایان نامه کارشناسی ارشد، دانشگاه فردوسی مشهد، گروه مهندسی آب
- 2- Addison P.S. 2005. Fractal and Chaos. Oversea Press ( India) 256.
- 3- Burkard R. 2003. Fog water collection system, Atmospheric environment, 37, 2979-2990
- 4- Jana O. 2002. Fog harvesting : An alternative source of water supply on the west coast of South Africa, Geojournal, Volume 61, Number 2, pages 203-214(12)
- 5- Mandelbrot B.B. 1982. The Fractal Geometry of Nature. W.H. Freeman and Company.
- 6- Marshall J.S. and Palmer W.M. 1948. The distribution of raindrops with size, Journal of Meteorology, 5, 165-166
- 7- McIlveen R. 1995. Fundamentals of weather and climate. Chapman & Hall.,
- 8- Mousavi-Baygi M. 2001. The modeling and measurement of enhancement rainfall and wet-deposition in complex terrain. PhD thesis. Tom Choulaton, university of Manchester
- 9- Mousavi-baygi M. 2008. The implementation of fog water collection systems in Northeast of Iran. International Journal of Pure and Applied Physics, Volume : 4, Issue : 1.
- 10- Pfaffenberger R.C., and Dielman T.E. 1991. Testing normality of regression disturbances : A Monte Carlo study of the Filleben test. Computational Statistics & Data Analysis. Volume 11, Issue 3, 265-273.
- 11- Pruppacher H.R., Klett J.D. 1980. Microphysics of clouds and precipitation. D, Reidel publishing company.
- 12- Rogers R.R. 1996. A short course in cloud physics. Pergamon press.
- 13- Roland B. Stull. 1995. Meteorology today for scientists and engineers. west publishing co. 385.
- 14- Schemenauer R.S., and Cereceda P., 1994. The Role of Wind in Rainwater Catchment and Fog Collection, Water International, Volume 19, Issue 2 , pages 70 – 76
- 15- Schemenauer R.S., Cereceda P., and Suit M. 1992. An alternative water supply for Chilean coastal desert villages. Water resources Development, 8, 53-59



## Dynamical Assessment of Fog Harvesting Based on Fractal Theory

M.S. Ghazanfari<sup>1\*</sup> - A. Alizadeh<sup>2</sup> - M. Naseri<sup>3</sup> – S. M. Mousavi B.<sup>4</sup>

### Abstract

The limitation of water sources in most places all over the world, especially in arid and semi-arid lands is an important Issue for those who live in these areas. Many governments have dedicated their efforts toward finding new water resources to obtain water. Fog and cap clouds harvesting are one of the candidate methods to produce pure water. Many countries including Chile, Peru, Ecuador, Canada, Namibia and Nepal Have yet invested on fog harvesting. On the other hand, no significant calculation studies have been yet carried out on quantifying fog harvesting. In this work, we examined the Physical and dynamic relationship between cloud physics and atmosphere humidity; factors such as distribution of particle amounts, collection efficiency, water including base cloud and vapour flux were all considered. We also presented a new method to estimate fog harvesting, based on fractal theory and concerning the characteristics of collecting devices. Finally, we successfully evaluated the theories for fractal dimension of particle distribution, using the real data of fog harvesting. The incremental fractal dimension reliability was found to be 83% acceptable.

**Keywords:** Cap cloud, Fog, Fog harvesting, Fractal theory

1,2,3,4- A Contribution from Department of Water Engineering, Ferdowsi University of Mashhad  
(\*- Corresponding author Email: msgm@engineer.com)